

**В. В. Липсон, В. В. Бородина, М. Г. Широбокова, С. М. Десенко^a,
О. В. Шишкін^a, Р. И. Зубатюк^a**

**ВЗАИМОДЕЙСТВИЕ АМИНОАЗОЛОВ С КИСЛОТОЙ МЕЛЬДРУМА
И ДИАЛКИЛКЕТОНАМИ ИЛИ ЦИКЛОГЕКСАНОНОМ**

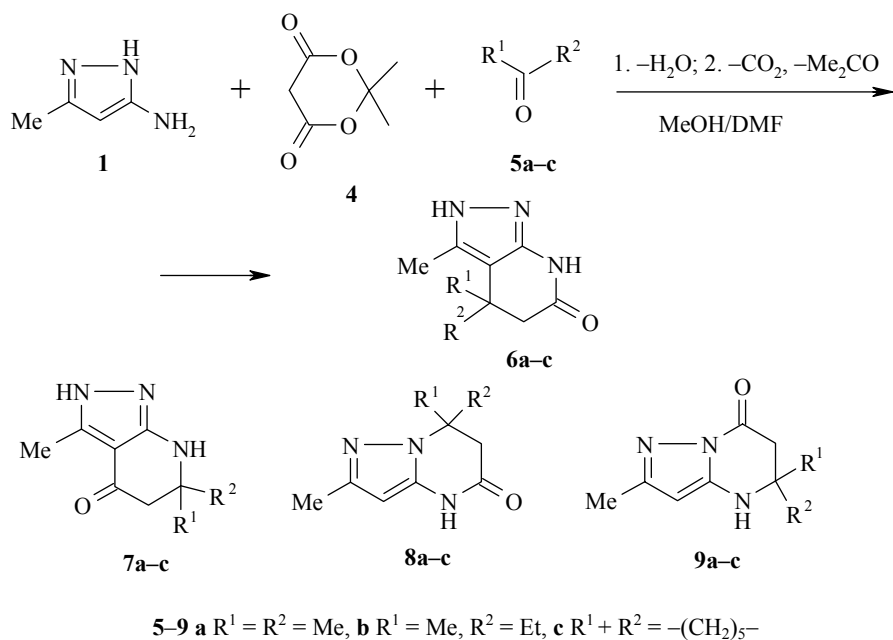
Взаимодействие 3-амино-5-метилпиразола, 3-амино-5-метилтио- и 3,5-диамино-1,2,4-триазола с кислотой Мельдрума, ацетоном, метилэтилкетоном, циклогексаноном приводит к алкилзамещенным пиразоло[3,4-*b*]пиридин-6-онам и 1,2,4-триазоло[1,5-*a*]пиrimидин-7-онам соответственно. Строение 2-метилтио-5,5-диметил-4,5,6,7-тетрагидро-1,2,4-триазоло-[1,5-*a*]пиrimидин-7-она доказано рентгеноструктурным исследованием.

Ключевые слова: 3-амино-5-метилпиразол, 3-амино-5-метилтио-1,2,4-триазол, диалкилкетоны, 3,5-диамино-1,2,4-триазол, кислота Мельдрума, пиразоло[3,4-*b*]пиридин-6-оны, 1,2,4-триазоло[1,5-*a*]пиrimидин-7-оны, РСА.

Циклоконденсация азотсодержащих бинуклеофилов с арилметилиден-производными кислоты Мельдрума или их синтетическими предшественниками получила широкое распространение в синтезе гетероциклов [1–3]. Ранее взаимодействием указанной кислоты, ароматических альдегидов, 3-амино-1,2,4-триазола и 2-аминобензимидазола нами были получены частично гидрированные производные 1,2,4-триазоло[1,5-*a*]-пиrimидин-5-она [4] или пиrimido[1,2-*a*]бензимидазол-2- и -4-она соответственно [5]. Известно, что кетоны алифатического и ароматического ряда также способны вступать в конденсацию с кислотой Мельдрума в качестве карбонильных компонентов [1, 6]. Образующиеся в результате такого взаимодействия алкилметилиден- и арилалкилметилиденизопропиленмалонаты в свою очередь представляют интерес как синтоны в синтезе азоловазиновых систем. Цель настоящего исследования – выявить направленность формирования азинового цикла в реакциях 3-амино-5-метилпиразола (**1**), 3-амино-5-метилтио- (**2**) и 3,5-диамино-1,2,4-триазола (**3**) с кислотой Мельдрума (**4**) и ацетоном (**5a**), метилэтилкетоном (**5b**), циклогексаноном (**5c**).

Установлено, что при кипчении аминопиразола **1** с эквимолярным количеством 2,2-диметил-1,3-диоксан-4,6-диона (**4**) и кетонами **5a–c** как в метаноле, так и в ДМФА образуются только соответствующие пиразоло-[3,4-*b*]пиридин-6-оны **6a–c**. Продукты изомерного строения **7–9a–c** выделены не были.

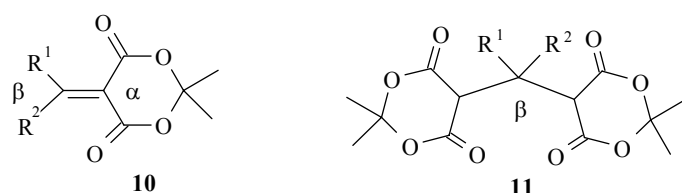
Состав и строение впервые полученных соединений **6a–c** подтверждены результатами элементного анализа и спектральными характеристиками (см. экспериментальную часть). В ИК спектрах соединений **6a–c**



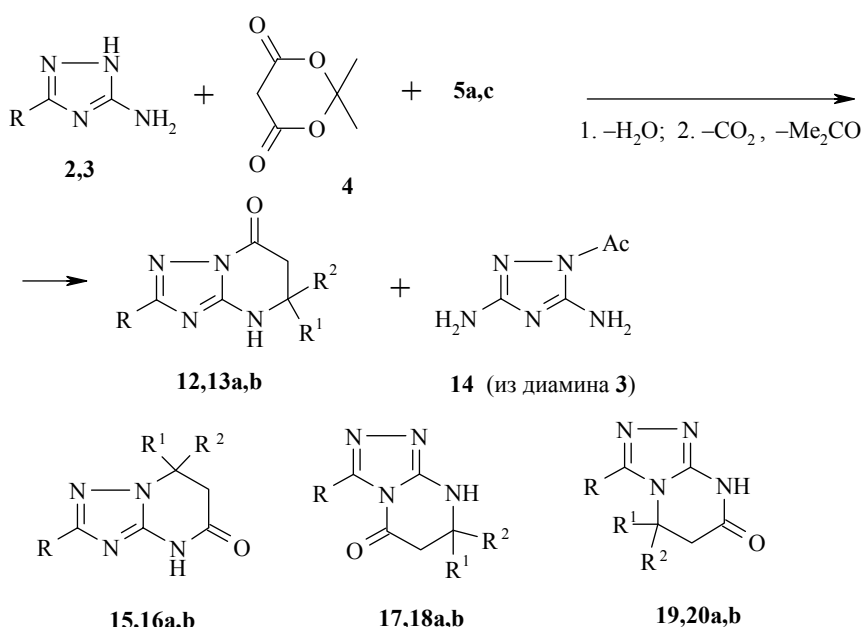
имеется характерный для циклических амидов набор полос поглощения в области 3400–2850 (ν NH), 1652–1656 ("амид I") и 1524–1508 cm^{-1} ("амид II"), однако эти данные не позволяют сделать отнесение структур к одному из двух типов позиционных изомеров **6** (**7**) или **8** (**9**).

В спектрах ЯМР ^1H соединений **6a–c** присутствуют сигналы протонов двух групп NH, алкильных заместителей и метиленовой группы частично гидрированного пиридинового цикла. Принципиальным для отнесения полученных продуктов к пиразолопиридиновому (**6** или **7**), а не пирамидиновому ряду (**8** или **9**) является наличие двух уширенных синглетных сигналов групп NH в области 11.71–11.69 и 10.10–10.65 м. д., а также отсутствие сигнала метинового протона пиразольного цикла. Выбор в пользу изомеров **6** был сделан на основании эксперимента с использованием ядерного эффекта Оверхаузера, проведенного для соединения **6c**. Облучение протонов группы CH_3 в положении 3 (2.20 м. д.) вызывает отклик на протоне группы NH пиразольного цикла (11.64 м. д.) и протонах спироосочлененного циклогексанового фрагмента, что свидетельствует об их близком пространственном расположении.

Таким образом, взаимодействие 3-амино-5-метилпиразола (**1**) с 2,2-диметил-1,3-диоксан-4,6-дионом (**4**) и кетонами **5a–c** отличается высокой региоселективностью и приводит исключительно к формированию пиразоло[3,4-*b*]пиридин-6-оновой системы **6**. Такая направленность процесса соответствует взаимодействию β -углеродного атома интермедиатов **10** или **11**, образующихся на первой стадии из кислоты Мельдрума **4** и кетона **5** с углеродным нуклеофильным центром в молекуле аминоазола, а атома углерода группы C=O – с экзоциклической аминогруппой.



Трехкомпонентная конденсация 3-амино-5-метилтио-1,2,4-триазола (**2**) с 2,2-диметил-1,3-диоксан-4,6-дионом (**4**) и ацетоном (**5a**) или циклогексаноном (**5c**) была осуществлена нами в среде этилацетата в присутствии катализитических количеств пиридина. Для аналогичных реакций с участием 3,5-диамино-1,2,4-триазола (**3**) в качестве растворителя использовался избыток соответствующего кетона. Во всех случаях получены тетрагидро-1,2,4-триазоло[1,5-*a*]пиrimидин-7-оны **12a,b** и **13a,b**. В реакции диамина **3** наряду с продуктами **13a,b** был выделен триазолилацетамид **14** [7].

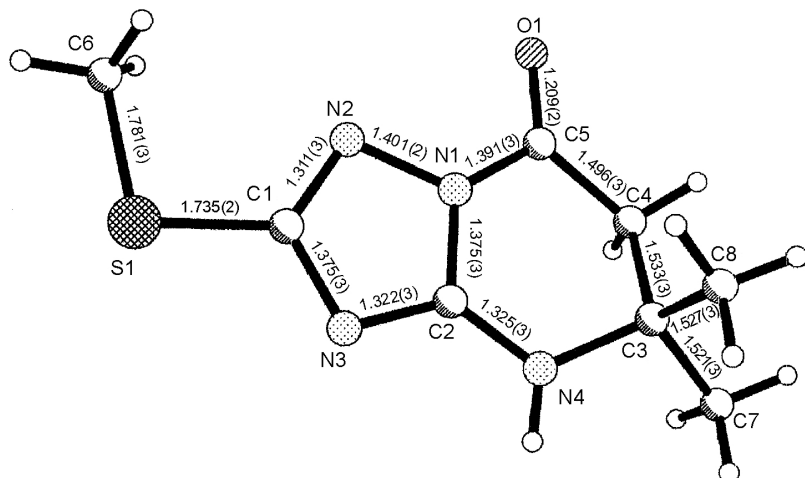


2, 12, 15, 17, 19 R = MeS; **3, 13, 16, 18, 20** R = NH₂; **a** R¹ = R² = Me, **b** R¹ + R² = -(CH₂)₅-

Состав и строение не описанных ранее соединений **12**, **13** подтверждены результатами элементного анализа и спектральными характеристиками (см. экспериментальную часть). В ИК спектрах продуктов **12a,b** и **13a,b** имеются полосы поглощения карбонильной группы в области 1756–1712 см⁻¹, положение которых типично для подобных 7-оксоизомеров [8], а полосы поглощения "амид I" и "амид II", характерные для структур **15** (**16**) или **19** (**20**) (см. ИК спектры соединений **6a,c**), в них отсутствуют. Однако приведенные данные не позволяют сделать выбор между изомерами **12** (**13**) и **17** (**18**).

Спектры ЯМР ¹H полученных продуктов **12a,b**, **13a,b** содержат сигналы всех протонов предложенных для них структур. Окончательно выбор в пользу последних был сделан на основании результатов PCA

соединения **12а** (рисунок, табл. 1, 2).



Строение молекулы соединения **12а**

В симметрически независимой части элементарной ячейки кристалла 2-метилтио-5,5-диметил-4,5,6,7-тетрагидро-1,2,4-триазоло[1,5-*a*]пиримидин-7-она **12а** находятся две молекулы (**А** и **Б**), которые отличаются конформацией шестичленного цикла. Тетрагидропиримидиновый фрагмент имеет конформацию искаженного *полукресла* (параметры складчатости $S = 0.58$ (**А**), 0.63 (**Б**), $\theta = 50.03$ (**А**), 48.47 (**Б**), $\psi = 12.62$ (**А**), 20.93 (**Б**) [9]). Отклонения атомов C(3) и C(4) от средней плоскости остальных атомов цикла составляют 0.34 (**А**), 0.31 \AA (**Б**) и -0.25 (**А**), -0.33 \AA (**Б**) соответственно. Атомы триазольного цикла и метилтиогруппы лежат в одной плоскости с точностью 0.014 (**А**) и 0.028 \AA (**Б**). Конфигурация атома азота N(1) не совсем плоская, сумма валентных углов, центрированных на атоме, составляет 358.3° в молекуле **А** и 358.7° в молекуле **Б**. Атомы C(7) и C(8) имеют экваториальную и аксиальную ориентацию, соответственно, относительно шестичленного цикла (торсионные углы C(7)-C(3)-C(4)-C(5) $162.6(2)^\circ$ (**А**), $-169.7(2)^\circ$ (**Б**), C(8)-C(3)-C(4)-C(5) $-74.9(2)^\circ$ (**А**) и $67.7(3)^\circ$ (**Б**)).

Таблица 1
Длины связей (d) в молекулах **А** и **Б** соединения **12а**

Связь	$d, \text{\AA}$		Связь	$d, \text{\AA}$	
	А	Б		А	Б
S(1)-C(1)	1.735(2)	1.739(2)	N(3)-C(1)	1.375(3)	1.377(3)
S(1)-C(6)	1.781(3)	1.786(3)	N(4)-C(2)	1.325(3)	1.333(3)
O(1)-C(5)	1.209(2)	1.197(3)	N(4)-C(3)	1.474(3)	1.465(3)
N(1)-C(2)	1.375(3)	1.373(3)	C(3)-C(7)	1.521(3)	1.498(3)
N(1)-C(5)	1.391(3)	1.402(3)	C(3)-C(8)	1.527(3)	1.542(4)
N(1)-N(2)	1.401(2)	1.397(2)	C(3)-C(4)	1.533(3)	1.526(3)
N(2)-C(1)	1.311(3)	1.310(3)	C(4)-C(5)	1.496(3)	1.493(3)
N(3)-C(2)	1.322(3)	1.317(3)			

Таблица 2

Валентные углы (ϕ) в молекулах А и Б соединения 12а

Угол	ϕ , град.		Угол	ϕ , град.	
	А	Б		А	Б
C(1)–S(1)–C(6)	101.1(1)	101.2(1)	N(4)–C(2)–N(1)	121.5(2)	120.6(2)
C(2)–N(1)–C(5)	124.6(2)	125.0(2)	N(4)–C(3)–C(7)	107.8(2)	108.3(2)
C(2)–N(1)–N(2)	109.2(2)	109.3(2)	N(4)–C(3)–C(8)	109.5(2)	108.7(2)
C(5)–N(1)–N(2)	124.5(2)	124.5(2)	C(7)–C(3)–C(8)	110.5(2)	110.2(2)
C(1)–N(2)–N(1)	101.0(2)	100.9(2)	N(4)–C(3)–C(4)	108.0(2)	107.9(2)
C(2)–N(3)–C(1)	102.5(2)	102.3(2)	C(7)–C(3)–C(4)	109.2(2)	111.9(2)
C(2)–N(4)–C(3)	119.7(2)	119.9(2)	C(8)–C(3)–C(4)	111.7(2)	109.7(2)
N(2)–C(1)–N(3)	117.2(2)	117.2(2)	C(5)–C(4)–C(3)	116.8(2)	115.3(2)
N(2)–C(1)–S(1)	124.6(2)	123.5(2)	O(1)–C(5)–N(1)	121.5(2)	121.8(2)
N(3)–C(1)–S(1)	118.3(2)	119.3(2)	O(1)–C(5)–C(4)	125.6(2)	126.2(2)
N(3)–C(2)–N(4)	128.4(2)	129.1(2)	N(1)–C(5)–C(4)	112.7(2)	111.9(2)
N(3)–C(2)–N(1)	110.1(2)	120.6(2)			

В молекуле **Б** имеет место неэквивалентность связей C(3)–C(7) и C(3)–C(8). Так, связь C(3)–C(7) 1.498(3) Å (среднее значение 1.530 Å) [10] существенно укорочена, а связь C(3)–C(8) 1.542(4) Å несколько удлинена. В то же время в молекуле **А** обе связи имеют равные длины (C(3)–C(7) 1.527(3) Å, C(3)–C(8) 1.521(3) Å). Наблюдается также укорочение связей C(5)–N(2): 1.391(3) (А), 1.402(3) Å (Б) (1.346 Å) и C(2)–N(4): 1.325(3) (А), 1.333(3) Å (Б) (1.339 Å). В кристалле молекулы соединения **12а** образуют димеры типа **АА** и **ББ** за счет водородных связей N(4)–H(4) ...N(3') ($-x$, $1-y$, $1-z$ (АА), $-x$, $1-y$, $-z$ (ББ)) (H...N 2.23 Å (АА), 2.16 Å (ББ), N–H...N 146° (АА), 172° (ББ)). Кроме того, имеются также димеры типа **АБ** за счет стекинг-взаимодействий между триазольными циклами (расстояние между центрами колец 3.53 Å, угол между плоскостями циклов 8.4°).

Таким образом, рассмотренные примеры взаимодействия 5-метилтио-3-амино- и 3,5-диамино-1,2,4-триазола с кислотой Мельдрума и кетонами **5а–с** свидетельствуют о том, что процесс протекает во всех случаях региоселективно и приводит к образованию только одного из возможных изомеров – 5-алкилзамещенного тетрагидро-1,2,4-триазоло[1,5-*a*]пиримидин-7-она.

ЭКСПЕРИМЕНТАЛЬНАЯ ЧАСТЬ

Спектры ЯМР ^1H зарегистрированы на спектрометре Varian-200 (200 МГц) для растворов в DMSO-d₆, внутренний стандарт SiMe₄. ИК спектры записаны на приборе Specord M-82 (таблетки KBr). Масс-спектры соединений **6b,c**, **12a,c**, **13a,c** получены на приборе Finnigan MAT INCOS-50 (70 эВ), а соединения **6a** – на спектрометре MSBC SELMI (источник 10 $\mu\text{Ci}^{252}\text{Cf}$) для положительных и отрицательных ионов при ускоряющем напряжении ± 20 кВ. Контроль состава реакционных смесей и чистоты полученных соединений осуществляли с помощью TCX на пластинках Silufol UV-254, элюент метанол–хлороформ–диоксан, 3:3:4. Температуры плавления определяли на блоке Коффера.

3,4,4-Триметил-4,5,6,7-тетрагидропиразоло[3,4-*b*]пиридин-6-он (6а). А. Смесь 0.19 г (2 ммоль) пиразола **1**, 0.28 г (2 ммоль) кислоты Мельдрума (**4**) и 0.170 мл (2 ммоль) ацетона (**5а**) в 5 мл метанола кипятят 20–25 мин. Реакционную смесь охлаждают, отфильтровывают 0.14 г (40%) соединения **6а**, которое очищают перекристаллизацией из 2-пропанола. Т. пл. 245–247 °C. ИКспектр, ν , см⁻¹: 3400–2650, 1652, 1556, 1520. Спектр ЯМР ¹H, δ, м. д.: 11.71 (1H, уш. с, NH); 10.10 (1H, уш. с, NH); 2.26 (2H, с, CH₂); 2.20 (3H, с, CH₃); 1.19 (6H, с, CH₃). Масс-спектр, m/z ($I_{\text{отн.}}$, %): 180 [M+H], 178 [M-H]. Найдено, %: C 60.04; H 7.33; N 23.31. C₉H₁₃N₃O. Вычислено, %: C 60.34; H 7.26; N 23.46.

Б. Вместо метанола используют 1 мл ДМФА. Реакционную смесь кипятят 5–7 мин, далее охлаждают, добавляют 10 мл 2-пропанола и отфильтровывают 0.12 г (34%) соединения **6а**, которое очищают перекристаллизацией из 2-пропанола. Смешанная проба с образцом, полученным по методике А, не дает депрессии температуры плавления

3,4-Диметил-4-этил-4,5,6,7-тетрагидропиразоло[3,4-*b*]пиридин-6-он (6б) получают аналогично соединению **6а** из метилэтилкетона **5б**. Выход 46% (метод А), 43% (метод Б). Т. пл. 226–228 °C (из 2-пропанола). ИК спектр, ν , см⁻¹: 3200–2850, 1652, 1612, 1524. Спектр ЯМР ¹H, δ, м. д. (J, Гц): 11.64 (1H, уш. с, NH); 10.05 (1H, уш. с, NH); 2.22 (2H, с, CH₂); 2.15 (3H, с, CH₃); 1.45 (2H, м, CH₂); 1.15 (3H, с, CH₃); 0.72 (3H, т, J = 8.0, CH₃). Масс-спектр (ЭУ, 70 эВ), m/z ($I_{\text{отн.}}$, %): 193 (42), 164 (100), 146 (32), 136 (23). Найдено, %: C 61.90; H 7.53; N 21.83. C₁₀H₁₅N₃O. Вычислено, %: C 62.18; H 7.77; N 21.76.

3-Метил-4,5,6,7-тетрагидропиразоло[3,4-*b*]пиридин-6-он-4-спироциклогексан (6с) получают аналогично соединению **6а** из циклогексанона (**5с**). Выход 52% (метод А), 50% (метод Б). Т. пл. 272–275 °C (из 2-пропанола). ИК спектр, ν , см⁻¹: 3400–2900, 1656, 1612, 1508. Спектр ЯМР ¹H, δ, м. д.: 11.64 (1H, уш. с, NH); 10.67 (1H, уш. с, NH); 2.43 (2H, с, CH₂); 2.20 (3H, с, CH₃); 1.62–1.36 (10H, м, CH₂). Масс-спектр, m/z ($I_{\text{отн.}}$, %): 219 (93), 176 (100), 164 (86), 150 (40), 134 (56). Найдено, %: C 66.02; H 7.63; N 19.21. C₁₂H₁₇N₃O. Вычислено, %: C 65.75; H 7.76; N 19.18.

5,5-Диметил-2-метилтио-4,5,6,7-тетрагидро-1,2,4-триазоло[1,5-*a*]пиримидин-7-он (12а). Смесь 0.2 г (1.5 ммоль) амина **2**, 0.22 г (1.5 ммоль) кислоты Мельдрума (**4**) и 0.13 мл (1.5 ммоль) ацетона (**5а**) в 5 мл этилацетата в присутствии каталитических количеств пиридина кипятят 2 ч. Реакционную массу охлаждают, отфильтровывают 0.17 г (54%) соединения **12а**, которое перекристаллизовывают из ацетона, т. пл. 222–224 °C. ИК спектр, ν , см⁻¹: 3180–2892, 1752, 1636. Спектр ЯМР ¹H, δ, м. д.: 8.50 (1H, уш. с, NH); 2.75 (2H, с, CH₂); 2.46 (3H, с, CH₃S); 1.26 (6H, с, CH₃). Масс-спектр, m/z ($I_{\text{отн.}}$, %): 212 (100), 197 (21), 170 (87), 83 (83), 42 (30). Найдено, %: C 45.40; H 5.74; N 26.37; S 14.89. C₈H₁₂N₄OS. Вычислено, %: C 45.28; H 5.66; N 26.42; S 15.09.

2-Метилтио-4,5,6,7-тетрагидро-1,2,4-триазоло[1,5-*a*]пиримидин-7-он-5-спироциклогексан (12б) получают аналогично соединению **12а**, используя вместо ацетона циклогексанон. Выход 48%, т. пл. 228–231 °C (из 2-пропанола). ИК спектр, ν , см⁻¹: 3252–2812, 1756, 1640. Спектр ЯМР ¹H, δ, м. д.: 8.50 (1H, уш. с, NH); 2.79 (2H, с, CH₂); 2.46 (3H, с, CH₃S); 1.26–1.58 (10H, м, 5CH₂). Масс-спектр, m/z ($I_{\text{отн.}}$, %): 252 (95), 209 (53), 123 (100), 85 (39), 55 (36). Найдено, %: C 53.00; H 6.28; N 22.32; S 12.75. C₁₁H₁₆N₄OS. Вычислено, %: C 52.80; H 6.40; N 22.40; S 12.80.

2-Амино-5,5-диметил-4,5,6,7-тетрагидротриазоло[1,5-*a*]пиримидин-7-он (13а) и 3,5-диамино-1-ацетил-1,2,4-триазол (14). Смесь 0.2 г (2 ммоль) диамина **3** и 0.28 г (2 ммоль) кислоты Мельдрума (**4**) в 5 мл ацетона в присутствии каталитических количеств пиридина кипятят 2 ч, далее охлаждают, отфильтровывают 0.08 г (22%) соединения **13а**, которое перекристаллизовывают из метанола, т. пл. 248–250 °C. ИК спектр, ν , см⁻¹: 3360–2800, 1716, 1636. Спектр ЯМР ¹H, δ, м. д.: 8.07 (1H, уш. с, NH); 5.70 (2H, уш. с, NH₂); 2.60 (2H, с, CH₂); 1.21 (6H, с, CH₃). Масс-спектр, m/z ($I_{\text{отн.}}$, %): 181 (100), 166 (26), 139 (53), 99 (73), 83 (86), 42 (52). Найдено, %: C 46.50; H 6.08; N 38.75. C₇H₁₁N₅O. Вычислено, %: C 46.41; H 6.08; N 38.67.

Фильтрат упаривают досуха, к остатку добавляют 3 мл 2-пропанола и отфильтровывают 0.11 г (39%) диамина **14** с т. пл. 198–200 °C. ИК спектр, ν , см⁻¹: 3392, 3296, 3228, 3140, 1712, 1644, 1572. Спектр ЯМР ¹H, δ, м. д.: 7.32 (2H, уш. с, NH₂); 5.62 (2H, уш. с, NH₂); 2.32 (3H, с, CH₃) [7].

2-Амино-4,5,6,7-тетрагидротриазоло[1,5-*a*]пиримидин-7-он-5-спироциклогексан (13б) получают аналогично соединению **13а**, используя вместо ацетона циклогексанон **5с**. Продукт **13б** очищают от амида **14** перекристаллизацией из смеси ДМФА–2-пропанол, 1:2.

Выход 23%, т. пл. 258–259 °С. ИК спектр, ν, см⁻¹: 3352–2848, 1720, 1628. Спектр ЯМР ¹H, δ, м. д.: 8.17 (1H, уш. с, NH); 5.72 (2H, уш. с, NH₂); 2.66 (2H, с, CH₂); 1.22–1.54 (10H, с, CH₂). Mass-спектр, m/z (I_{отн.}, %): 221 (100), 178 (34), 123 (81), 99 (26), 83 (34). Найдено, %: C 54.51; H 7.00; N 31.58. C₁₀H₁₅N₅O. Вычислено, %: C 54.30; H 6.79; N 31.67.

Рентгеноструктурное исследование соединения 12а. Кристаллы соединения 12а триклинные, C₈H₁₂N₄OS, при 20 °C, *a* = 8.371(2), *b* = 9.810(2), *c* = 13.520(4) Å, α = 70.41(2), β = 82.51(2), γ = 81.93(2)°, *V* = 1031.4(5) Å³, *M_r* = 212.28, *Z* = 4, пространственная группа *P1*, *d_{выч}* = 1.367 г/см³, μ (MoKα) = 0.288 мм⁻¹, *F*(000) = 448. Параметры элементарной ячейки и интенсивности 3901 отражений (3632 независимых, *R_{int}* = 0.035) измерены на автоматическом четырехкружном дифрактометре Siemens P3/PC (MoKα, графитовый монохроматор, 2θ/θ-сканирование, 2θ_{max} = 50°).

Структура расшифрована прямым методом по комплексу программ SHELXTL [11]. Положения атомов водорода выявлены из разностного синтеза электронной плотности и уточнены по модели наездника с нефиксированным *U_{изо}*. Структура уточнена по *F²* полноматричным МНК в анизотропном приближении для неводородных атомов до *wR₂* = 0.073 по 3632 отражениям (*R₁* = 0.042 по 2650 отражениям с *F*>4σ(*F*), *S* = 1.18).

СПИСОК ЛИТЕРАТУРЫ

1. Bang-Chi Chen, *Heterocycles*, **32**, 529 (1991).
2. J. Quiroga, A. Hormaza, B. Insuasti, C. Saitz, C. Jullian, A. Cañete, *J. Heterocycl. Chem.*, **35**, 61 (1998).
3. D. Clarke, R. Mares, H. McNab, *J. Chem. Soc., Perkin Trans. I*, **12**, 1799 (1997).
4. В. В. Липсон, В. Д. Орлов, С. М. Десенко, Т. М. Карножицкая, М. Г. Широбокова, *XGC*, 664 (1999). [*Chem. Heterocycl. Comp.*, **35**, 595 (1999)].
5. В. В. Липсон, В. Д. Орлов, С. М. Десенко, С. В. Шишкина, О. В. Шишкін, М. Г. Широбокова, *XGC*, 1190 (2000). [*Chem. Heterocycl. Comp.*, **36**, 1039 (2000)].
6. H. McNab, *Chem. Soc. Rev.*, **7**, 375 (1978).
7. В. М. Чернышев, Н. Д. Земляков, В. А. Таранунич, Пат. России 2148579, www.fips.ru.
8. M. A. E. Shaban, A. E. A. Morgan, *Adv. Heterocycl. Chem.*, **73**, 131 (1999).
9. N. S. Zefirov, V. A. Palyulin, E. E. Dashevskaya, *J. Phys. Org. Chem.*, **3**, 147 (1990).
10. H.-B. Burgi, J. D. Dunitz, in *Structure Correlation*, VCH, Weinheim, 1994, **2**, 741.
11. G. M. Sheldrick, *SHELXTL PLUS. PC Version. A System of Computer Programs for the Determination of Crystal Structure from X-ray Diffraction Data*, rev 5.1, Siemens Analytical X-ray Instruments Inc., Germany, 1998.

Институт проблем эндокринной патологии
им. В. Я. Данилевского
Академии медицинских наук Украины,
Харьков 61002
e-mail: lipson@ukr.net

Поступило 01.03.2006
После доработки 04.07.2006

^aГосударственное научное учреждение
НТК "Институт монокристаллов"
Национальной академии наук Украины,
Харьков 61001
e-mail: desenko@isc.kharkov.com